

عملکرد فوم‌های صلب پلی‌یورتان در کاهش خسارات سازه‌بی ناشی از برخورد پرتابه

سید محمد حسین اندامی (دانشجوی کارشناسی ارشد)

حميد توپھی نژاد^{*} (استادیار)

گروه مهندسی عمران، دانشگاه رازی کرمانشاه

در این مقاله عملکرد فوم های صلب پلی بورتان به کار رفته در زره های کامپوزیتی برای کاهش آثار ضربه واردہ بر زره به صورت عددی -- با استفاده از روش اجزا محدود -- مورد بررسی قرار گرفته است. هدف از این مطالعه، بررسی پارامترهای مهم طراحی همانند ضخامت، چگالی فوم و نیز سرعت برخورد (تیغ کرنیش) پرتابه بر عملکرد زره است. در زره های مورد بررسی که دارای یک ساختار دولایه فلز و فوم هستند از ۴ فوم مختلف با چگالی های ۸°، ۱۶°، ۲۸۸ و ۳۲۰ کیلوگرم بر متر ممکن برای خواسته متفاوت است. در شده است. همچنین رفتار هر یک از زره ها تحت اثر برخورد پرتابه بی با سرعت های متفاوت، مورد بررسی قرار گرفته است. پس از بررسی تأثیر پارامترهای طراحی بر رفتار زره، مقادیر بهینه ی چگالی و ضخامت فوم برای مهار ضربات واردہ تعیین شده است.

واژگان کلیدی: فوم پلی بورتان، چگالی، ضخامت، برخورد پرتابه، زره کامپوزیت، نزدیکی.

hosein.andami@yahoo.com
h.toopchinezhad@razi.ac.ir

١. مقدمة

نیز در حد فاصل لایه‌ی بیرونی و لایه‌ی جاذب استفاده می‌شود (مانند جلیقه‌های ضد گلوله‌ی چندلایه).^[۶] چنان که اشاره شد، لایه‌ی داخلی زره در جذب و استهلاک انرژی امواج انفجار با ضربه نقش عمده‌ی دارد. فوم‌ها از جمله مصالحی هستند که با توجه به ساختار مخلخل شان عملکرد مناسبی در زمینه‌ی جذب انرژی از خود نشان داده‌اند.^[۷-۸] کاربرد فوم‌های پلیمری نظیر فوم‌های پلی‌استایرین و پلی‌بورتان با توجه به هزینه‌ی کم و وزن سبک، نسبت به فوم‌های فازی از مزیت‌هایی برخوردار است. اندو و همکاران^[۹-۱۰] با بررسی تأثیر استفاده از مواد مخلخل در کاهش بیشترین اضافه‌فتشار ناشی از موقع شوک انفجار نشان داده‌اند که به علت تبدیل شدن موج انفجار به امواج فشاری در اثر اندرکش آن با فضای مخلخل سه‌بعدی، کاهش فشار در این محیط‌ها در مقایسه با هوا مدت زمان بیشتری به طول می‌انجامد. همچنین ماسه و فوم پلی‌بورتان، داده‌اند. مصطفی و همکاران^[۱۱] با بررسی عملکرد فوم‌های سخت پلی‌بورتان مسلح در کاهش خسارات ناشی از انفجار نشان داده‌اند که فوم‌های پلی‌بورتان در حفاظت ز ورق شاهد توانایی بالایی دارد. ماهوی و همکاران^[۱۲] نیز عملکرد فشاری چهار نوع فوم سلول بسته‌ی پلی‌بورتان با چگالی‌های ۳۸، ۴۵ و ۴۵ کیلوگرم بر متر مکعب را در ساختار یک جلیقه‌ی نجات موردن بررسی قرار داده‌اند. نتایج این پژوهش نشان می‌دهد که فوم پلی‌بورتان می‌تواند به عنوان یک لایه‌ی جاذب انرژی، عملکرد مناسبی در ساختار یک جلیقه از خود نشان دهد.

تأمین امنیت سازه‌های نظامی، شهری و صنعتی از اهمیت ویژه‌یی برخوردار است. به همین دلیل یافتن راهکاری برای محافظت از این قبیل سازه‌ها در برابر عوامل محرکی نظری برخورد پرتابه‌ی سرعت بالا انجام ضروری به نظر می‌رسد. از میان راهکارهای گوناگون ارائه شده در این زمینه، مفهوم سازه‌های زرهی فداشونده^[۱] به دلیل ویژگی‌های منحصر به فرد آنها، از قبیل نصب ساده، رفتار قابل پیش‌بینی و... با استقبال بیشتری روپرتو شده است. زره‌های فداشونده انواع گوناگونی دارند، در نوع خاصی از این زره‌ها، با نام زره‌های چندلایه، ساختار اصلی از دو قسمت تشکیل می‌شود:^[۲] رویه‌ی سخت بیرونی و لایه‌ی جاذب داخلی؛ عملکرد روپرتو بیرونی در هنگام انفجار و در قبال برخورد، با هم متفاوت است. هنگام انفجار، وظیفه‌ی روپرتو سخت بیرونی پخش هرچه یک‌ماختر تر فشار ناشی از امواج انفجار است. در حالی که در صورت برخورد یک پرتابه با زره فداشونده، وظیفه‌ی اصلی این لایه خرد کردن پرتابه و ممانعت از ورود آن به لایه‌ی جاذب داخلی زره است. در هر دو مورد وظیفه‌ی لایه‌ی جاذب این است که با انجام تعییر شکل‌های خمیری زیاد، سهم قابل توجهی از انرژی ناشی از برخورد یا انفجار را جذب و مستهلك کند.^[۳-۴] اگرچه در هنگام برخورد پرتابه با زره، لایه‌ی سخت بیرونی علاوه بر جلوگیری از نفوذ پرتابه تا حد زیادی با تمرکز فشار در نقطه‌ی برخورد مقابله می‌کند، در مواقعی که فشار قابل تحمل توسط هدف پایین باشد (همانند بدن انسان)، از یک لایه‌ی پخش‌کننده‌ی فشار

نویسنده مسئول *

تاریخ: دریافت ۱۴/۱۰/۱۳۹۵، اصلاحه ۱۳/۳/۱۳۹۶، بذیر شر ۲۲/۳/۱۳۹۶.

DOI:10.24200/J40.2018.6420

به عنوان لایه‌ی جاذب در ساختار یک زره فداشونده است. برای این منظور تأثیر پارامترهایی نظری چگالی و ضخامت فوم و همچنین سرعت برخورد پرتا به بر عملکرد یک زره دو لایه مورد تحلیل و بررسی قرار گرفته است.

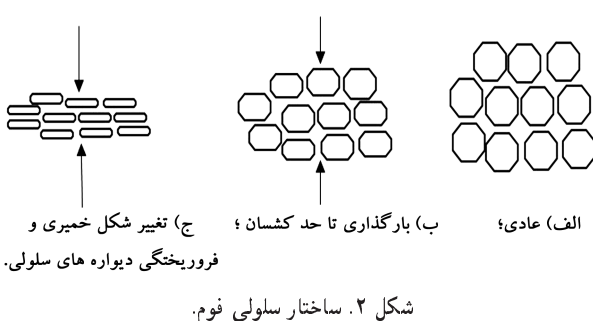
۲. فوم پلی‌پورتان

۱.۲. ماهیت شیمیابی و ساختار

پلی‌پورتان‌ها پلیمرهایی هستند با پیوندهای یورتانی که ازوکنش بین دی‌ایزوسیانات‌ها با پلی‌ال‌ها، عوامل پف‌زا و کاتالیزورهای مشخص تولید می‌شوند. پلی‌ال یک پلیمر با وزن مولکولی کم با گروه‌های انتهایی هیدروکسیل (پلی‌استر یا پلی‌اتر) است و دی‌ایزو‌سیانات غالباً ایزومری از تولوئن دی‌ایزو‌سیانات (TDI) یا دی‌فنیل متان دی‌ایزو‌سیانات (MDI) است. واکنش اصلی بین دی‌ایزو‌سیانات و پلی‌ال که منجر به تولید پلی‌پورتان می‌شود یک واکنش گرمایش است.^[۱۲، ۱۳] در تولید فوم سخت پلی‌پورتان — که فوم‌های مورد بررسی در این مقاله از این نوع هستند — پلیمر مربوطه باید به وسیله‌ی یک عامل پف‌زا حجیم شود. یکی از راه‌های پفزایی افزودن گازی با نقطه‌ی جوش انذکی بالاتر از دمای محیط به مخلوط ایزو‌سیانات و پلی‌ال است، که در این حالت حرارت ناشی از واکنش تولید پلی‌پورتان باعث تبخیر ماده‌ی پف‌زا و حجیم شدن پلیمر شده و ساختار آن را به شکل سلولی درمی‌آورد.^[۱۴، ۱۵] خواص فوم پلی‌پورتان به ساختار سلولی آن وابسته است و چون رشد سلول‌ها یکنواخت نیست، خواص فوم شدیداً تابع جهت‌گیری این سلول‌هاست.^[۱۶] چنان‌که در شکل ۱ مشاهده می‌شود، انسپاٹ فوم در راستای بالا آمدن آن با راستای عمود بر بالا آمدن متفاوت است؛ از این‌رو خواص مکانیکی فوم نیز در این دو جهت یکسان نیست.

۲. توانایی بالا در جذب انرژی

تحقیقات انجام شده روی فوم پلی‌پورتان نشان می‌دهد که در صورت استفاده از این فوم به عنوان واسطه‌ی به جای‌های توان بیشینه فشار ناشی از انفجار را بین ۱۰ تا ۵۰ درصد^[۱۷] و بیشینه فشار ناشی از ضربه را تا ۹۸ درصد^[۱۸] کاهش داد. علت این توانایی بالا در جذب انرژی در ساختار متخلف این ماده است. در ساختار این فوم تعداد زیادی سلول کوچک (حاوی یک سیال و اغلب گاز) وجود دارد که با دیواره‌هایی نارک از جنس پلی‌پورتان از هم جدا شده‌اند. چنان‌که در شکل ۲ مشاهده می‌شود، دیواره‌ی این سلول‌ها هنگام قرار گرفتن فوم در معرض ضربه یا انفجار، ابتدا چهار تغییر شکل کشسان می‌شود که در آن نیروی وارد صرف غلبه بر پیوندهای بین اتمی و کووالانسی می‌شود. با افزایش نیرو ماده از فاز کشسان خارج



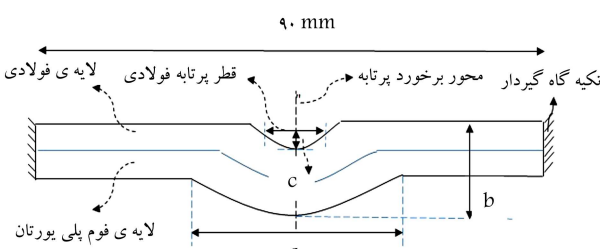
شکل ۲. ساختار سلولی فوم.

می‌شود، دیواره‌ها فرو می‌ریزد و سلول‌ها بسته می‌شوند. بسته شدن هر سلول یک تغییر شکل خمیری غیر قابل بازگشت است که مستلزم صرف انرژی است. با توجه به تعداد بسیار زیاد این سلول‌ها در ساختار فوم، برای فروریختگی دیواره‌ها و بسته شدن همه‌ی سلول‌ها انرژی بسیار زیادی لازم خواهد بود که فوم را قادر می‌سازد به عنوان یک جاذب انرژی، عملکرد بسیار مناسبی از خود به نمایش بگذارد.

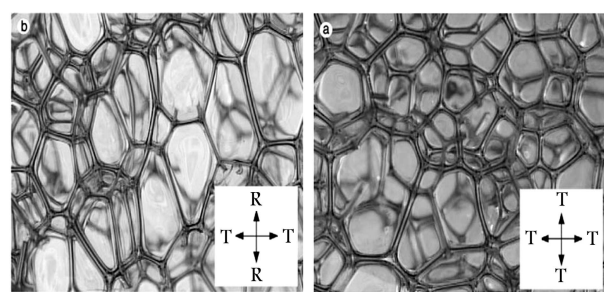
۳. آزمایشات مورد بررسی

در نوشتار حاضر برای صحبت‌سنگی نتایج به دست آمده از شبیه‌سازی‌های نرم افزاری، از آزمایشات انجام شده توسط Wai^[۱۹] در آزمایشگاه دانشگاه سانتا باربارا در کالیفرنیاً آمریکا استفاده شده است. هدف از انجام این آزمایشات بررسی تأثیر استفاده از یک لایه‌ی متخلف در ساختار یک زره چندلایه برای بهبود عملکرد زره بوده است. در مجموعه آزمایشات انجام شده توسط Wai، ابتدا هریک از لایه‌های زره در قالب صفحات مربعی به ابعاد 100×100 میلی‌متر آماده شده است. سپس با توجه به نوع و ترتیب لایه‌های مورد نیاز در هر آزمایش، صفحات مذکور با استفاده از نوعی چسب اپوکسی مخصوص با گازبروی پایین به یکدیگر چسبانده شده و برای مدت ۲۴ ساعت در دمای اتاق، تحت فشار ثابت عمود بر صفحات قرار گرفته‌اند تا به خوبی به یکدیگر پچسبند. پس از آماده شدن صفحات، آزمایش برخورد پرتا به روی آنها انجام شده است.

با توجه به هدف این مقاله، از میان مجموعه آزمایشات انجام شده، آزمایش شماره ۱۰ که شامل یک لایه‌ی فولادی در جلو و یک لایه‌ی پلی‌پورتانی در پشت آن است انتخاب و شبیه‌سازی شده است. در آزمایش مذکور پرتا بهی از جنس فولاد A2/A2-AISA به طول 75×75 mm^۲ اینچ با سرعت ۵۰ m/s بر ثانیه به زره دولایه از جنس فولاد AISA-4140 (لایه‌ی اول) و فوم پلی‌پورتان با چگالی ۳۲۰ کیلوگرم بر متر مکعب (لایه‌ی دوم)، برخورد می‌کند. پس از برخورد، ابعاد فرورفتگی ایجاد شده توسط پرتا به در زره اندازه‌گیری و گزارش شده است (شکل ۳).



شکل ۳. ابعاد فرورفتگی ایجاد شده در زره دولایه (فولاد - فوم پلی‌پورتان) پس از برخورد پرتا به آن.



الف) در جهت عمود بر بالا آمدن فوم.^[۱۷]

شکل ۱. تصویر میکروسکوپی نوری از فوم پلی‌پورتان پف شده با CFC-۱۱ نشان‌گر راستای عرضی و R نشان‌گر راستای رشد فوم است.

۴. شبیه‌سازی و مقایسه‌ی نتایج

در این بخش به شبیه‌سازی اجزای محدود یکی از آزمایش‌های انجام شده^[۸] با استفاده از نرم‌افزار اندیسیس - اتوداین^۱ پرداخته می‌شود. پس از شبیه‌سازی، نتایج به دست آمده از نرم‌افزار با نتایج آزمایشگاهی و نیز نتایج شبیه‌سازی انجام شده^[۸] مورد مقایسه قرار گرفته تا از این طریق از صحبت شبیه‌سازی‌های انجام شده اطمینان حاصل شود. انتخاب معادله‌ی حالت^۲ مناسب برای مصالح^۳ فوم تأثیر زیادی بر کیفیت نتایج شبیه‌سازی خواهد داشت. در این مقاله رفتار مصالح فوم پلی‌پورتان با استفاده از معادله‌ی حالت $P - \alpha$ مدل سازی شده است. معادله‌ی حالت $P - \alpha$ اولین بار توسط هرمان^[۱۹] ارائه شد و به عملت عملکرد مناسب آن در شبیه‌سازی رفتار مصالح متخلخل، در مدل سازی بسیاری از مواد متخلخل از جمله بتون در نرم‌افزارهای اجراء محدود به کار گرفته می‌شود.

نظریه‌ی عمومی مدل $P - \alpha$ یک نظریه‌ی مرتبه اول است که در آن تأثیرات مقاومت برشی به صورت ثانویه در رفتار فشاری در نظر گرفته می‌شود. از این‌رو تأسیس نتش به صورت کروی فرض شده است. در این نظریه به عنوان یک فرض اساسی، انرژی داخلی ویژه‌ی ماده‌ی متخلخل و ماده‌ی جامد نظری آن — تحت شرایط بکسان از نظر فشار و دما — برابر در نظر گرفته می‌شود. در این مدل برای پیش‌بینی رفتار مصالح متخلخل در سه ناحیه‌ی تراکم کشسان، تراکم خمیری و باربرداری، از پارامتر تخلخل (α) استفاده شده است. استفاده از پارامتر مذکور مدل را قادر می‌سازد تا «تغییر حجم ناشی از فشرده شدن ماده» را از «تغییر حجم ناشی از فروریختگی و بسته شدن حفرات» جدا کند.^[۱۹]

پارامترهای اصلی یک ماده‌ی متخلخل برای جایگذاری در معادله‌ی حالت $P - \alpha$ در نرم‌افزار اتوداین عبارت است از:
 α : چگالی اولیه‌ی ماده‌ی متخلخل؛
 C_e : سرعت صوت در ماده‌ی متخلخل (در ناحیه‌ی کشسان)؛
 P_e : بیشینه‌ی فشار کشسان (بیشینه‌ی فشار هیدرواستاتیکی که تحت آن رفتار ماده در محدوده‌ی کشسان باقی می‌ماند)؛
 P_s : فشار تراکم حالت غیرمتخلخل (فشار هیدرواستاتیکی که در آن تمامی حفرات ماده‌ی متخلخل بسته می‌شود)؛
 C, S : پارامترهای هوگونیوت ماده‌ی جامد نظری فوم.

چگالی اولیه‌ی فوم را می‌توان با استفاده از روش استغراق محاسبه کرد. برای محاسبه‌ی سرعت صوت در ماده‌ی متخلخل می‌توان از روابط متعدد موجود در ادبیات تحقیق استفاده کرد.^[۲۰-۲۱] در استفاده از روابط سرعت صوت همواره باید دقت داشت که به جای پارامترهای مواد اولیه، پارامترهای مربوط به فوم متخلخل محاسبه و جایگذاری شود. برای محاسبه‌ی فشار کشسان و فشار تراکم کامل می‌توان از رابطه‌ی ارائه شده توسط محققین^[۲۱] استفاده کرد:

$$P_e = \frac{1 + \nu}{3(1 - \nu)} \times \sigma_{HEL} \quad (1)$$

که در آن ν ضریب پواسون فوم است که براساس داده‌های شرکت سازنده و ادبیات تحقیق مشخص می‌شود.^[۲۲-۲۳] σ_{HEL} نیز بر اساس رابطه‌ی ۲ محاسبه می‌شود:

$$\sigma_{HEL} = \left(\frac{1 - \nu}{1 - 2\nu} \right) \times \sigma_y \quad (2)$$

که در آن پارامتر σ_y معرف تنش تسلیم فوم است. برای محاسبه‌ی فشار تراکم کامل ابتدا σ_{HEL} را با استفاده از معادله‌ی ۳ به ازای $\rho_s = \rho_0$ محاسبه می‌کنیم و مقدار

جدول ۱. پارامترهای مورد نیاز برای معرفی فوم پلی‌پورتان FR-۶۷۲۰ در نرم‌افزار.

جنس ماده	فوم پلی‌پورتان
۱۲۶۵	چگالی مرتع (kg/m ^۳)
$P - \alpha$	معادله‌ی حالت
۳۲۰	چگالی حالت متخلخل (kg/m ^۳)
۸۵۹,۹۲	سرعت صوت در ماده‌ی متخلخل (m/s)
۹,۶۴	بیشینه‌ی فشار کشسان (MPa)
۱۱۲,۵۴	فشار تراکم حالت غیرمتخلخل (MPa)
۲۴۹۰	پارامترهای هوگونیوت ماده‌ی متخلخل (m/s)
۱,۵۶	C (m/s)
	S

به دست آمده را در معادله‌ی ۱ جایگذاری می‌کنیم تا مقدار P_s به دست آید.^[۲۱]

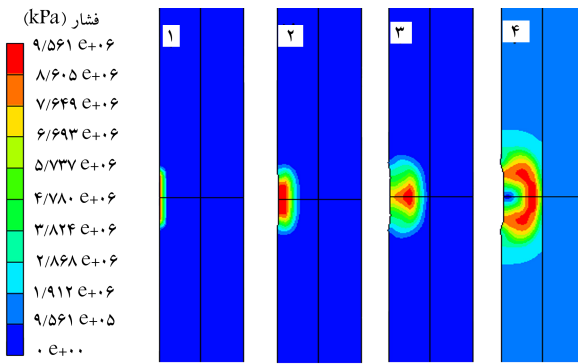
$$\sigma_{HEL} = C_y \left[\left(\frac{\rho_0}{\rho_s} \right)^{2/3} + \left(\frac{\rho_0}{\rho_s} \right)^{1/2} \right] \quad (3)$$

در معادله‌ی ۳، ρ_0 و ρ_s به ترتیب معرف چگالی فوم و چگالی ماده‌ی سازنده فوم هستند. C_y ثابتی است که با روش کمترین مرباعات برای فوم‌هایی با چگالی‌های متفاوت ساخته شده از یک نوع روزن قابل محاسبه است.^[۲۱] پارامترهای C و S به ترتیب برابر عرض از مبدأ و شبیه‌ی معادله‌ی خطی موجود بین سرعت موج شوک و سرعت حرکت ذرات ماده‌داند که برای هر ماده دارای مقادیر ثابت است. مقادیر این پارامترها برای فوم پلی‌پورتان در کتابخانه نرم‌افزار اتوداین و مراجع دیگر^[۲۲-۲۳] موجود است.

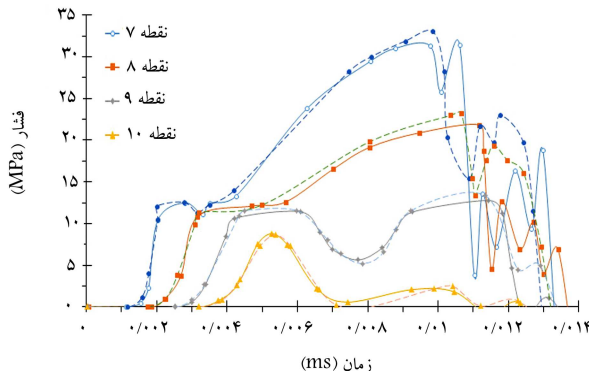
فوم به کار رفته در این آزمایش محصول شرکت زنال پلاستیک^[۲۲] با نام تجاری FR-۶۷۲۰ است که مشخصات آن در جدول ۱ ارائه شده است. جنس پرتابه‌ی استفاده شده در آزمایش از نوع فولاد AISI-A2 است که برای مدل سازی آن از معادله‌ی حالت شوک و معادله‌ی مقاومت جانسون - کوک استفاده شده و لایه‌ی فولادی زره از جنس AISI-۴۱۴۰ و با معادله‌ی حالت خطی و معادله‌ی مقاومت جانسون - کوک مدل شده است. پارامترهای مربوط به این دو نوع فولاد در جدول ۲ ارائه شده است.^[۲۳] شبیه‌سازی اجرا محدود به صورت دوبعدی، با المان‌های ۴ گرهی به ابعاد ۵/۰ میلی‌متر انجام شده و برای تمامی قسمت‌ها حلال لاگرانژی به کار رفته است. دو لایه‌ی فولادی و بلی پورتانی در زره به یکدیگر متصل شده‌اند و بین آنها اصطکاکی با ضریب پیش‌فرض ۰/۵ اعمال شده است. همچنین با توجه به امکان بروز جاذشگی و تخریب در فوم پلی‌پورتان یک معیار تخریب از نوع کرنش هندسی با مقدار حدی ۲ برای آن تعريف شده است.

برای صحبت‌سنجی مدل اجرا محدود ارائه شده در مقاله‌ی حاضر، علاوه بر مقایسه‌ی نتایج مدل سازی با نتایج آزمایشگاهی گزارش شده در مطالعات پیشین،^[۸] فشار ایجاد شده در مصالح زره در امتداد محور برخورد پرتابه، در ده نقطه که به فاصله‌ی ۱ میلی‌متر از نقاط مذکور استخراج و با شبیه‌سازی انجام شده^[۸] مقایسه شده است (شکل ۴).

در شکل ۵ تاریخچه‌ی زمانی تغییرات فشار در امتداد محور برخورد پرتابه در لایه‌ی فولادی زره نشان داده شده است. چنان‌که مشاهده می‌شود، تاریخچه‌ی فشار محاسبه شده در نظریه مختلط صفحه‌ی فولادی (واقع در امتداد محور برخورد پرتابه) از تطابق خوبی با نتایج مدل سازی پیشین^[۸] برخوردار است. درصد خطای موجود بین بیشینه‌ی فشار محاسبه شده در مدل اجرا محدود این مقاله و مدل سازی به عمل آمده در مطالعات قبلی^[۸] به طور میانگین حدود ۵ درصد است.

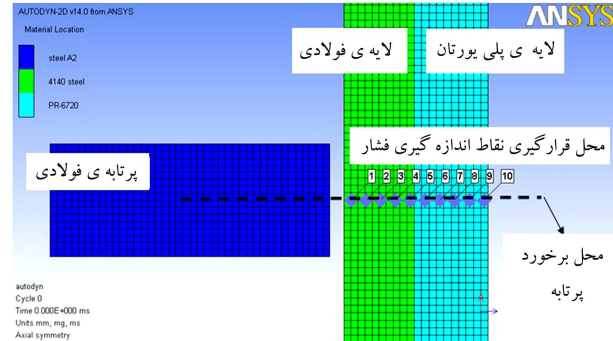


شکل ۶. نحوه انتشار موج شوک برخورد در لایه‌ی فولادی در زمان ۰,۰۰۰۳ و ۰,۰۰۱۴ میلی ثانیه پس از برخورد.

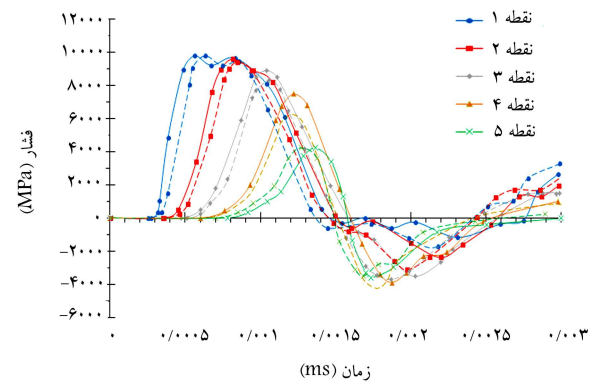


شکل ۷. نمودار فشار ایجاد شده در نقاط مختلف لایه‌ی پلی‌بورتان واقع بر امتداد محور برخورد پرتا به در فواصل ۱ میلی‌متر از یکدیگر (خطوط تپیر نشان‌گر نتایج ارائه شده توسط محققین^[۸] و خطوط منقطع نشان‌گر نتایج حاصل از شبیه‌سازی در مقاله‌ی حاضر است).

در این لایه و همچنین عدم توانایی آن در پخش و مستهلك کردن این فشار است. در شکل ۷ تاریخچه‌ی زمانی فشار حاصل در لایه‌ی پلی‌بورتان در امتداد محور برخورد پرتا به نشان داده شده است. با مقایسه‌ی شکل‌های ۵ و ۷ مشاهده می‌شود که فشار حاصل از برخورد در لایه‌ی پلی‌بورتان کاهش چشمگیری داشته است و همچنین مدت زمان افزایش فشار از صفر تا فشار بیشینه در این لایه، بیشتر از لایه‌ی



شکل ۸. محل نقاط اندازه‌گیری فشار بر محور برخورد در زره.

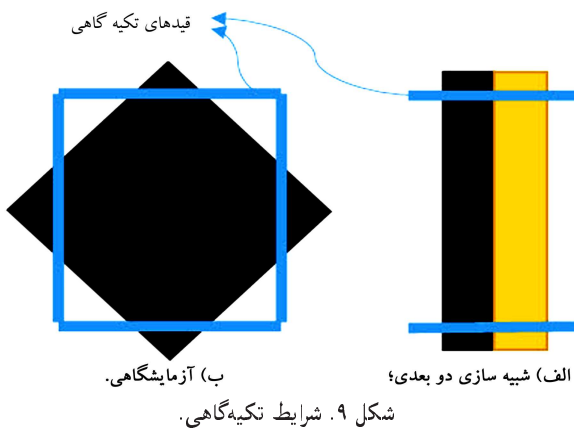


شکل ۹. نمودار فشار ایجاد شده در نقاط مختلف صفحه‌ی فولادی واقع بر امتداد محور برخورد پرتا به در فواصل ۱ میلی‌متر از یکدیگر (خطوط تپیر نشان‌گر نتایج ارائه شده توسط محققین^[۸] و خطوط منقطع نشان‌گر نتایج حاصل از شبیه‌سازی در مقاله‌ی حاضر است).

در شکل ۶ نحوه انتشار موج شوک در لایه‌ی فولادی در زمان‌های مختلف پس از برخورد پرتا به با زره نشان داده شده است. از مشاهده‌ی این شکل و نیز شکل ۵ می‌توان دریافت که بیشینه‌ی فشاری که هر نقطه از زره تجربه می‌کند، متناظر با لحظه‌ی عبور جبهه‌ی موج شوک از آن نقطه است. همچنین مشاهده می‌شود که با وجود تغییر شکل اندک ایجاد شده، موج شوک ناشی از برخورد در لایه‌ی فولادی منتقل شده و به انتهای لایه رسیده است که این نشان‌گر سرعت بالای انتشار موج

جدول ۲. مشخصات فولاد به کار رفته در پرتا به و لایه‌ی اول زره.

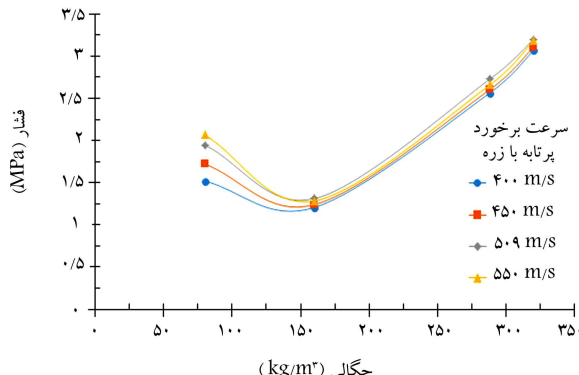
Steel 4140	Steel A2	مصالح
خطی	شوک	
مدول بالک	پارامترهای ماده	معادله‌ی حالت
$K = 159 \text{ GPa}$	$C = 456 \text{ m/s}$	$S = 1/4$
جانسون - کوک	جانسون - کوک	مدل مقاومت
تنش تسایلم	مدول برشی	مدول برشی
$\sigma_y = 0,65 \text{ GPa}$	$G = 77 \text{ GPa}$	$\sigma_{spall} = 4 \text{ GPa}$
جانسون - کوک	تنش تسایلم	Hydro (P_{min})
$D_1 = 0,005, D_2 = 3,44,$	$\sigma_y = 1,8 \text{ GPa}$	
$D_3 = 2,12, D_4 = 0,002,$	$G = 81,8 \text{ GPa}$	مدل گسیختگی
$D_5 = 0,61$		



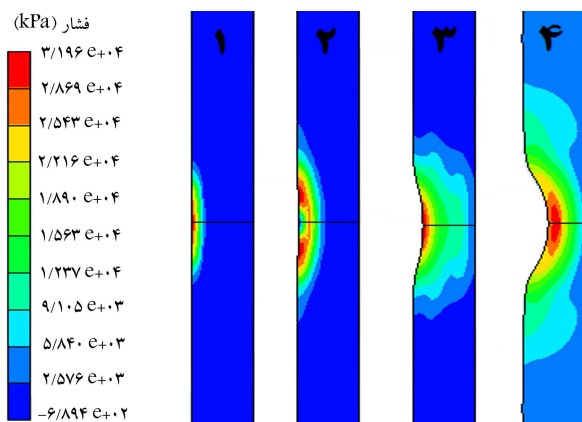
(الف) شیوه سازی دو بعدی؛

(b) آزمایشگاهی.

شکل ۹. شرایط تکیه‌گاهی.



شکل ۱۰. تغییرات بیشینه فشار حاصل در انتهای لایه‌ی فوم پلی‌بورتان با چگالی فوم (در سرعت‌های مختلف).



شکل ۸. نحوه انتشار موج شوک برخورد در لایه‌ی پلی‌بورتانی در زمان ۱۴، ۲۱، ۵۶، ۵۶ و ۵۰ میلی ثانیه پس از برخورد.

جدول ۳. مقایسه‌ی نتایج مدل‌سازی و نتایج آزمایشگاهی.

آزمون شماره ۱۰	آزمایشگاه	مدل‌سازی مقاله‌ی حاضر
عرض برآمدگی a (mm)	۲۴/۹۶	۲۳/۸۶
عمق کلی b (mm)	۱۳/۲۱	۱۱/۶۳
بیشینه‌ی فورفتگی c (mm)	۱/۹۵	۱/۸۷

فولادی است که نشان‌گر سازوکار کاهش خسارت از طریق توزیع فشار در بازه زمانی گسترده‌تر است. در این مورد نیز میانگین اختلاف بین دو مدل برابر ۵/۷ درصد است.

در شکل ۸ نیز فرایند انتقال موج شوک در لایه‌ی پلی‌بورتان در زمان‌های مختلف پس از برخورد پرتابه شنан داده شده است. با توجه به تفاوت زیاد فشار در لایه‌ی فولادی و لایه‌ی فوم، برای داشتن کانتور فشار مناسب، تها لایه‌ی پلی‌بورتانی در نظر گرفته شده است. در این شکل مشاهده می‌شود که علی‌رغم تغییر شکل زیاد فوم، فشار چندانی به انتهای آن منتقل نشده است که این نشان‌گر توانایی فوم در استهلاک فشار و کاهش خسارات ناشی از آن است. با مقایسه‌ی شکل‌های ۶ و ۸ در می‌باییم که موج شوک ناشی از برخورد در لایه‌ی فولادی دارای تمرکز بیشتری است و با عبور این موج از لایه‌ی اول و رسیدن آن به لایه‌ی پلی‌بورتانی، بازه‌ی اثر آن بیشتر شده و به عبارت دیگر موج در سطح این لایه پخش می‌شود. این امر نشان‌گر سازوکار کاهش خسارت از طریق توزیع نیرو در سطح بیشتر است که سبب کاهش میزان فشار و افزایش بازه‌ی اثر آن شود.

همچنین ابعاد فورفتگی ایجاد شده پس از برخورد پرتابه، اندازه‌گیری شده (شکل ۳) و توجهی آن همراه با نتایج آزمایشگاهی در جدول ۳ ارائه شده است. با مقایسه‌ی نتایج مشاهده می‌شود که مدل اجزا محدود اندکی نرم‌تر از زره واقعی رفتار کرده است.

تفاوت‌های اندک موجود را می‌توان ناشی از محدودیت در اعمال شرایط دقیق تکیه‌گاهی در مدل‌سازی حالت دو بعدی دانست (شکل ۹). زره آزمایش شده دارای ۴ تکیه‌گاه در ۴ لایه خود است؛ این در حالی است که در مدل‌سازی ۲ بعدی تنها امکان اعمال ۲ تکیه‌گاه در لبه‌های بالایی و پایینی زره وجود داشت. با این وجود دقت شیوه‌سازی انجام شده در مقاله‌ی حاضر، برای بسیاری از مقاصد مهندسی مطلوب ارزیابی می‌شود. پس از صحبت‌سنگی مدل در بخش‌های بعد به بررسی تأثیر پارامترهای مختلف طراحی بر عملکرد فوم‌های صلب پلی‌بورتان می‌پردازیم.

۵. بررسی تأثیر چگالی فوم بر عملکرد آن

در این بخش به منظور بررسی عددی تأثیر چگالی لایه‌ی فوم در کاهش فشار ناشی از برخورد پرتابه، مدل اجرا محدود مجموعه‌ی از زره‌های مختلف دارای ابعاد هندسی یکسان اما فوم‌هایی با چگالی‌های مختلف مورد بررسی قرار گرفته‌اند. فوم‌های پلی‌بورتان مورد نظر دارای چگالی‌های متفاوت ۸۰، ۱۶۰، ۲۲۸، ۳۲۰ کیلوگرم بر متر مکعب بوده و در پشت یک صفحه‌ی محافظ فولادی تعییه می‌شوند. در تمامی زره‌های مورد بررسی ضخامت صفحه‌ی محافظ فولادی برابر ۷/۷۶ میلی‌متر و ضخامت لایه‌ی پلی‌بورتان برابر ۵ میلی‌متر است. رفتار دینامیکی زره‌ها تحت اثر برخورد پرتابه‌ی با سرعت‌های ۴۰۰، ۴۵۰، ۵۰۹، ۴۵۰ و ۵۵۵ متر بر ثانیه تحلیل شده و مقادیر بیشینه‌ی فشار ایجاد شده در انتهای لایه‌ی پلی‌بورتان واقع بر محور برخورد پرتابه محسوسه و در جدول ۴ گزارش شده است.

مقادیر پارامترهای لازم برای مدل رفتاری فوم با چگالی ۱۶۰ کیلوگرم بر متر مکعب، با نام تجاری FR-۶۷۱۰ استخراج شده^[۱] و اطلاعات مربوط به فوم‌ها با چگالی ۸۰ و ۲۲۸ کیلوگرم بر متر مکعب براساس روابط ارائه شده در مطالعات^[۲۱ و ۲۲] با استفاده از برگه‌ی اطلاعات فنی اخذ شده^[۲۳] با نام تجاری به ترتیب ۵ FR-۳۷۰۵ و ۵ FR-۶۷۱۸ محسوسه، و در جدول ۵ ارائه شده است.

اطلاعات مربوط به فوم با چگالی ۳۲۰ کیلوگرم بر متر مکعب نیز در جدول ۱ ارائه شده است. شکل ۱۰ نشان‌دهنده‌ی تغییرات فشار بیشینه‌ی حاصل در انتهای لایه‌ی پلی‌بورتان بر حسب چگالی فوم تحت اثر برخورد پرتابه با چهار سرعت متفاوت

تشن تسلیم) در اثر کاهش بیش از حد چگالی دانست.^[۲۲] بررسی دقیق شکل ۱۰ نشان می‌دهد که به ازای چگالی‌های حدود ۱۴۰ تا ۱۵۵ کیلوگرم بر متر مکعب، فوم پلی‌پورتان بیشترین بازدهی در کاهش بیشینه فشار ناشی از ضربه را خواهد داشت.

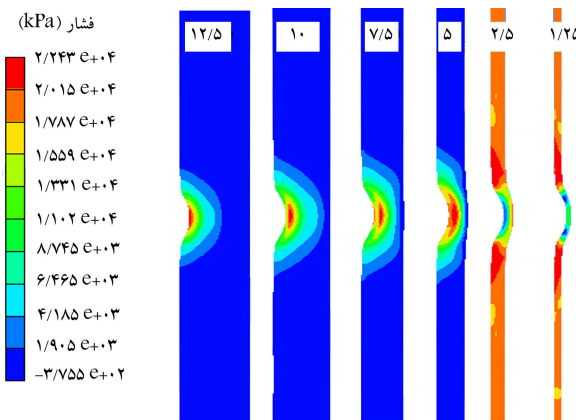
۶. بررسی تأثیر ضخامت فوم بر عملکرد آن

در این بخش به منظور بررسی تأثیر ضخامت لایه‌ی فوم بر عملکرد زره، مدل اجزای محدود زره‌های مختلف دارای ضخامت‌های متفاوت فوم مورد بررسی قرار گرفته است. زره‌های مورد مطالعه دارای فومی با چگالی ۱۶۰ کیلوگرم بر متر مکعب در ضخامت‌های ۱۰، ۱۲، ۱۴، ۱۶، ۱۸، ۲۰، ۲۲، ۲۴ و ۲۶ میلی‌متر هستند. پرتابه با سرعت‌های مختلف ۴۰۰، ۴۵۰، ۵۰۹ و ۵۵۰ متر بر ثانیه به زره برخورد کرده و بیشینه فشار ایجاد شده در انتهای فوم پلی‌پورتان در امتداد محور برخورد پرتابه محاسبه شده است (جدول ۶). کاتنور فشار فوم با ضخامت‌های مختلف، در زمان یکسان پس از برخورد پرتابه با زره، در شکل ۱۱ نشان داده شده است. چنان‌که مشاهده می‌شود در ضخامت‌های ۱۰ و ۱۲ میلی‌متر، موج شوک هنوز به انتهای لایه‌ی فوم نرسیده و طبیعاً فشار در انتهای فوم بسیار ناچیز است.

در شکل ۱۲ منحنی تغییرات فشار مذکور برحسب ضخامت لایه‌ی فوم به ازای چهار سرعت مختلف برخورد پرتابه نشان داده شده است. چنان‌که مشاهده می‌شود در سرعت‌های برخورد مختلف، نمودارها از روند یکسانی پیروی می‌کنند. با افزایش ضخامت تا حدود ۵ میلی‌متر، بیشینه فشار -- صرف نظر از سرعت برخورد پرتابه -- با آهنگ نسبتاً تندی دچار کاهش می‌شود. در ضخامت‌های بالاتر آهنگ تغییرات

جدول ۶. مقادیر بیشینه فشار حاصل در انتهای فوم پلی‌پورتان با ضخامت‌های متفاوت در امتداد محور برخورد پرتابه (مقادیر فشار برحسب مگاپاسکال است).

	ضخامت فوم					(mm)
	سرعت برخورد پرتابه (m/s)	۵۵۰	۵۰۹	۴۵۰	۴۰۰	
۵۰،۰۱۱	۴،۳۵۲	۴،۱۷۶	۳،۲۹۴	۱،۲۵		
۲،۲۳۰	۲،۱۶۵	۲،۰۷۵	۱،۹۸۹	۲،۵		
۱،۲۹۵	۱،۲۷۴	۱،۲۳۹	۱،۲۰۳	۵		
۰،۹۳۲	۰،۹۱۳	۰،۸۸۳	۰،۸۵۰	۷،۵		
۰،۶۹۸	۰،۶۸۵	۰،۶۵۱	۰،۶۲۳	۱۰		
۰،۵۴۰	۰،۵۲۴	۰،۴۹۰	۰،۴۷۳	۱۲،۵		



شکل ۱۱. کاتنور فشار در فوم با ضخامت‌های مختلف ۱۲، ۱۰، ۷، ۵، ۳ و ۱، ۲۵ میلی‌متر، در زمان ۱۰ میلی‌ثانیه پس از برخورد پرتابه.

جدول ۴. مقادیر بیشینه فشار در انتهای فوم‌های پلی‌پورتان با چگالی‌های متفاوت در اثر برخورد پرتابه با سرعت‌های مختلف.

سرعت برخورد	چگالی فوم پلی‌پورتان	بیشینه فشار در انتهای
(متر ثانیه)	(کیلوگرم بر متر مکعب)	پرتابه
۱،۵۲		۸۰
۱،۲۰۶		۱۶۰
۲،۵۶۳		۲۸۸
۳،۰۶۶		۳۲۰
۱،۷۲۳		۸۰
۱،۲۴		۱۶۰
۲،۶۰۳		۲۸۸
۳،۱۰۵		۳۲۰
۱،۹۴		۸۰
۱،۳۱		۱۶۰
۲،۷۷۲		۲۸۸
۳،۱۹		۳۲۰
۲،۰۶۸		۸۰
۱،۲۸۵		۱۶۰
۲،۶۵۹		۲۸۸
۳،۱۸۲		۳۲۰

جدول ۵. مشخصات مکانیکی فوم‌های مورد استفاده در مدل سازی.

چگالی حالت متخلخل فوم	پارامترهای مدل $P - \alpha$		
ρ_0 (kg/m³)	$P - \alpha$		
۲۸۸	۱۶۰	۸۰	
۸۳۷	۶۶۹،۴۴	۳۱۶،۹	C_e (m/s)
۷،۹۰	۲،۶۲	۰،۶۱۹	P_e (MPa)
۱۱۲،۵۴	۱۱۲،۵۴	۱۰۸،۶	P_s (MPa)
شوك	شوك	شوك	معادله‌ی حالت فاز جامد
۵۸،۰۴۶	۱۹،۴۶۵	۲/۳	مدول برشی (MPa)
۷،۹۰	۲،۶۲	۰،۶۱۹	تشن تسلیم (MPa)

است. چنان‌که مشاهده می‌شود منحنی‌های فشار بیشینه چگالی، صرف نظر از سرعت برخورد پرتابه، از الگوی نسبتاً یکسانی پیروی می‌کنند.

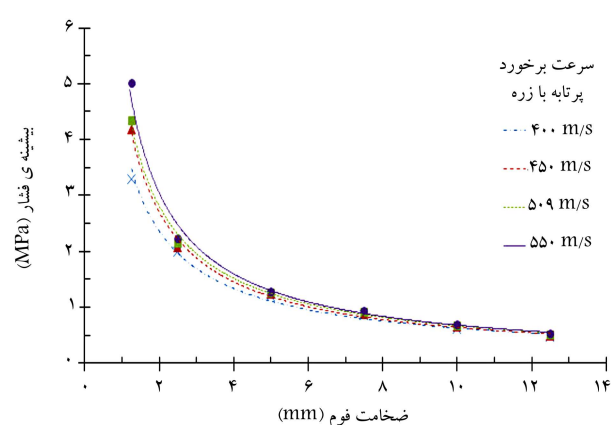
با کاهش چگالی فوم از ۱۶۰ تا ۳۲۰ کیلوگرم بر متر مکعب، عملکرد فوم در جذب انرژی و کاهش فشار برخورد پرتابه بهبود می‌یابد. علت این امر افزایش تعداد حفرات موجود در فوم با کاهش چگالی است. با افزایش تعداد حفرات، انرژی بیشتری برای فروریختن دیواره‌ی آنها لازم بوده و از این طریق فوم قادر است مقدار بیشتری انرژی مستهلك کند. در چگالی‌های کمتر از ۱۶۰ کیلوگرم بر متر مکعب با وجود افزایش کمی مقدار حفرات در پی کاهش چگالی، فوم رفتار متفاوتی از خود نشان داده و عملکرد آن در کاهش بیشینه فشار چهار ضعف می‌شود. علت این تغییر رفتار فوم را می‌توان ضعیف شدن مشخصات مکانیکی فوم (مدول الاستیسیتی -

میلی‌متر بر عملکرد فوم تأثیر قابل توجهی داشته است. در ضخامت‌ها و چگالی‌های بالاتر می‌توان از تأثیر سرعت برخورد بر عملکرد فوم صرف نظر کرد.

۸. نتیجه‌گیری

هدف اصلی این مقاله بررسی پارامتریک نقش مؤلفه‌های همانند چگالی و ضخامت لایه‌ی فوم و نیز سرعت برخورد پرتا به در راندمان زره‌های فازی مسلح به فوم به عنوان ماده‌ی مستهلك کننده‌ی انرژی برخورد پرتا به است. به منظور نیل به اهداف تحقیق مدل‌های اجزایی محدود مجموعه‌یی از زره‌های مختلف مورد تحلیل و ارزیابی قرار گرفتند. با توجه به طالب ارائه شده، می‌توان نتیجه گرفت که در برخورد پرتا به با زره‌های مورد بررسی در این تحقیق، در صورت استفاده از فوم پلی‌بورتان به عنوان هسته‌ی جاذب، چگالی بهینه‌ی فوم را می‌توان در حدود 14° تا 15° کیلوگرم بر متر مکعب در نظر گرفت. نتایج این تحقیق نشان می‌دهد که عملکرد فوم در کاهش بیشینه فشار وارد بر زره، رابطه‌ی غیرخطی با ضخامت لایه‌ی فوم دارد. در زره‌های مورد بررسی در این تحقیق با افزایش ضخامت فوم به بیش از ۵ میلی‌متر، آهنگ کاهش بیشینه فشار به طور محسوسی کند می‌شود. بنابراین، با توجه به تحلیل‌های انجام شده در این تحقیق و با در نظر گرفتن ملاحظات اقتصادی می‌توان ضخامت ۵ میلی‌متر را برای لایه‌ی فوم در زره‌های مورد بررسی انتخاب کرد.

براساس نتایج این تحقیق، تأثیر سرعت برخورد پرتا به (نحوه کرنش) بر عملکرد فوم تابع چگالی و ضخامت لایه‌ی فوم است. بیشترین حساسیت در فوم‌های با چگالی بین تراز 15° کیلوگرم بر متر مکعب و ضخامت‌های کم تراز ۵ میلی‌متر مشاهده می‌شود. همچنین با افزایش سرعت برخورد پرتا به مقدار بیشینه فشار منتقل شده از فوم به سازه‌ی حفاظت شده افزایش می‌یابد.



شکل ۱۲. تغییرات بیشینه‌ی فشار در انتهای لایه‌ی فوم بر حسب ضخامت لایه (چگالی فوم در تمامی ضخامت‌ها برابر 16° کیلوگرم بر متر مکعب است).

فشار با افزایش ضخامت کاهش قابل توجهی می‌یابد. همچنین در ضخامت‌های کم تراز ۵ میلی‌متر، تأثیر سرعت برخورد پرتا به بر بیشینه فشار در انتهای فوم زیاد است اما با افزایش ضخامت به مقادیر بالاتر، تأثیر سرعت کاهش می‌یابد به گونه‌یی که در ضخامت‌های 10° و 12° میلی‌متر مقادیر بیشینه‌ی فشار تقریباً مستقل از سرعت برخورد پرتا به است.

۷. تأثیر سرعت پرتا به بر عملکرد فوم

با توجه به شکل‌های 10° و 12° مشاهده می‌شود که سرعت برخورد پرتا به فقط در فوم‌های با چگالی کم تراز 15° کیلوگرم بر متر مکعب و ضخامت‌های کم تراز ۵

پانوشت‌ها

1. ANSYS-Autodyn
2. equation of state
3. material

منابع (References)

1. Guruprasad, S. and Mukherjee, A. "Layered sacrificial claddings under blast loading part I-analytical studies", *Int. J. of Impact Engineering*, **24**(9), pp. 957-73 (2000).
2. Guruprasad, S. and Mukherjee, A. "Layered sacrificial claddings under blast loading part II-experimental studies", *Int. J. of Impact Engineering*, **24**(9), pp. 975-84 (2000).
3. Kotzialis, C., Derdas, C. and Kostopoulos, V. "Blast behavior of plates with sacrificial cladding", In: *5th GRACM International Congress on Computational Mechanics*, Limassol, Cyprus (29 June - 1 July 2005).
4. Palanivelu, S., Paeppegem, W. and Degrieck, J. "Close-range blast loading on empty recyclable metal beverage cans for use in sacrificial cladding structures", *Int. J. of Engineering Structures*, **33**, pp. 1966-1987 (2011).
5. Gama, B.A., Bogetti, T.A., Fink, B.K., Yu, C.J., Clara, T.D. and Eifert, H.H. "Aluminum foam integral armor: A new dimension in armor design", *Composite Structures*, **52**, pp. 381-395 (2001).
6. Ong, C., Boey, C., Hixson, R.S. and Sinibaldi, O. "Advanced layered personnel armor", *Impact Engineering*, **38**, pp. 369-383 (2011).
7. Roy, O.C. "Investigation of advanced personnel armor using layered construction", M.S. thesis, Naval Postgraduate School, Monterey, CA (2009).
8. Boey, C.W. "Investigation of shock wave attenuation in porous materials", M.S. thesis, Naval Postgraduate School, Monterey, CA (2009).
9. Gibson, L.J. and Ashby, M.F., *Cellular Solids: Structure and Properties*, Cambridge University Press, New York (1997).

10. Endo, K., Kitagawa, K. and Yashuhara, M. "Diffusion effect of blast pressure in porous complex media", *In Proceedings of the 39th AIAA Fluid Dynamic Conference*, San Antonio, Texas (2009).
11. Mostafa, H.E., El-Dakhakhni, W.W. and Mekky, W.F. "Use of reinforced rigid polyurethane foam for blast hazard mitigation", *J. Reinf Plast Comp.*, **29**(20), pp. 3048-3057 (2010).
12. Maohui, L., Chunhua, B., Meiwu, S., Yanpeng, W., Hong, Z. and Yung, S. "Experimental study of the compressive performance of life jacket use polyurethane foam for blast wave protection", *Adv Mater Research*, **463**, pp. 457-462 (2012).
13. Sarier, N. and Onder, E. "Thermal characteristics of polyurethane foams incorporated with phase change materials", *Int. J. of Thermo. Chime. Acta*, **2**, pp. 90-98 (2007).
14. Schaumstoff, P. and Überlingen, A. "Polyurethane rigid foam, a proven thermal insulating materials for applications between +130 C and -196 C", *Int. J. of Cryogenics*, **38**, pp. 113-117 (1998).
15. Ahern, A., Verbist, G., Weaire, D., Phelan, R. and Fleurent, H. "The conductivity of foams: A generalisation of the electrical to the thermal case", *Int. J. of Colloids Surfaces*, **263**, pp. 275-279 (2005).
16. Wu, J.W., Suang, W.F. and Chu, H.S. "Thermal conductivity of polyurethane foams", *Int. J. of Heat Mass Transfer*, **42**, pp. 2211-2217 (1999).
17. Tu, Z., Shim, V. and Lim, C. "Plastic deformation modes in rigid polyurethane foam under static loading", *Int. J. Solids. Struct.*, **38**, pp. 9267-9279 (2001).
18. Kitagawa, K., Yamashita, S., Takayama, K. and Yashuhara, M. "Attenuation properties of blast wave through porous layer", *26th. Int. Symp. on Shock Waves.*, **1**, pp. 73-78 (1997).
19. Herrmann, W. "Constitutive equation for dynamic compression of ductile porous materials", *Int. J. Appl. Phys.*, **40**, pp. 2490-2499 (1969).
20. Ramakrishnan, N. "Speed of sound in porous materials", *Int. J. of Mater. Sci.*, **17**(5), pp. 499-504 (1994).
21. Grady, D. and Winfree, N. "A computational model for polyurethane foam", *Int. Conf. of Fundamental Issues and Applications of Shock-Wave and High Strain Rate Phenomena*, pp. 485-491 (2001).
22. General Plastic Manufacturing Company, FR-6710 & Pr-6720 PU Foam Data Sheets, 4910 Burlington way. Tacoma, wa98409 (2006).
23. Los Alamos Data Center for Dynamic Material Properties, *LASL Shock Hugoniot Data*, University of California Press, 675 p. (1980).
24. Lee, P., Wang, G., Sung, P. and Chang, W. "The attenuation of shock waves in PU foam and its application", *Shock Waves in Condensed Matter*, Plenum Press, New York, pp. 687-692 (1986).